

УДК 620.193.43

## РЕНТГЕНОЭЛЕКТРОННЫЕ ИССЛЕДОВАНИЯ ПРОДУКТОВ ВЗАИМОДЕЙСТВИЯ ОКСИДОВ ВИСМУТА И ТУЛИЯ

О.И.Ключников, В.Н.Стрекаловский, Л.В.Глинских\*, В.Г.Бамбуров \*

Институт высокотемпературной электрохимии УрО РАН

620219, Екатеринбург, ГСП-146, С.Ковалевской, 20

e-mail: v.strek@ihte.uran.ru

\*Институт химии твердого тела УрО РАН,

620219, Екатеринбург, Первомайская, 91

Поступила в редакцию 10 октября 2000 г.

Методом рентгеновской спектроскопии исследованы продукты взаимодействия оксидов висмута и туния состава  $\text{Bi}_{2-x}\text{Tm}_x\text{O}_3$  ( $x = 0,15-1,2$ ). Рассмотрены особенности изменения энергии связи электронов O1s от соотношения исходных оксидов, показано, что в продуктах взаимодействия наблюдается разнозернистый кислород. Определены энергии связи внутренних уровней  $\text{Bi}4f_{7/2}$ ,  $\text{Tm}4d_{5/2}$ ,  $\text{Bi}5d_{5/2,3/2}$  и  $\text{Tm}5p$ . Наблюдаемые изменения объяснены в рамках многозарядового состояния атомов.

**Ключников Олег Иванович – научный сотрудник ИВТЭ УрО РАН, кандидат физико-математических наук.**

**Область научных интересов:** рентгеноэлектронная спектроскопия материалов (оксидов, керамики, сплавов солей, сплавов и др.).

**Автор 40 публикаций.**

**Стрекаловский Виктор Николаевич – заведующий лабораторией ИВТЭ УрО РАН, руководитель Центра "Состав вещества", ученый секретарь Совета по научному оборудованию УрО РАН, кандидат технических наук, старший научный сотрудник.**

**Область научных интересов:** инструментальные методы изучения состава и структуры вещества, твердые электролиты, координационные соединения хлоридов щелочных и щелочноземельных элементов.

**Автор более 230 публикаций.**

**Глинских Лариса Валерьянова – младший научный сотрудник, аспирантка ИХТТ УрО РАН.**

**Область научных интересов:** химия твердого тела, ионные проводники на основе оксида висмута и редкоземельных элементов.

**Автор 5 публикаций.**

**Бамбуров Виталий Григорьевич – директор ИХТТ УрО РАН, заведующий лабораторией химии соединений редкоземельных элементов, член-корреспондент РАН, доктор химических наук, профессор.**

**Область научных интересов:** химия неорганических соединений в изменяющемся кристаллическом поле.

**Автор более 280 публикаций.**

Объемные свойства оксидных электролитов с примесной (системы на основе  $\text{ZrO}_2$  с добавками двух- или трехвалентных катионов) или собственной разупорядоченностью ( $\text{Bi}_2\text{O}_3$  и системы на ее основе) в виде твердых растворов со структурным типом флюорита (пространственная группа Fm3m) многократно и тщательно исследованы [1-4].

В меньшей степени изучены их поверхностные свойства. В настоящей работе метод рентгено-

электронной спектроскопии, являющийся фундаментальным и уникальным методом для исследований поверхности (информация поступает с глубины всего нескольких десятков ангстрем) использован для изучения продуктов синтеза состава  $\text{Bi}_{2-x}\text{Tm}_x\text{O}_3$  ( $x = 0,15-1,2$ ). В частности, нас интересовали вопросы характера изменения спектров O1s в зависимости от состава. При этом ожидалось, что должна как-то проявляться энер-

гетическая неравноценность кислородов за счет возможных фазовых превращений, замены катионов висмута на тулий и (или) даже внедрения примесных гидроксильных групп в структуру флюоритовых твердых растворов. В то же время представляло большой интерес определение энергий связи различных состояний ионов  $\text{Bi}^{3+}$  и  $\text{Tm}^{3+}$ , как параметров, определяющих связи висмута и тулия с кислородом.

### Методика эксперимента

Образцы приготовлены методом твердофазного синтеза при  $750^{\circ}\text{C}$  в течение десятков часов. Исходными продуктами синтеза служили порошки оксидов  $\text{Bi}_2\text{O}_3$  и  $\text{Tm}_2\text{O}_3$  по ГОСТ 10216-62 и РЭГУ 1084-63, соответственно.

Рентгенофазовый анализ продуктов реакции проведен на дифрактометре ДРОН-3 с автоматической расшифровкой и определением параметров элементарных ячеек.

Рентгеноэлектронные спектры были получены от порошков, нанесенных на медную подложку. В целях учета зарядки поверхности образца для калибровки шкалы энергий использована C1s-линия от графитового порошка, вводимого в образец, с принятой энергией связи 284,5 эВ.

Измерения проведены на рентгеноэлектрон-

ном спектрометре ОМИКРОН с помощью Mg K $\alpha$ -излучения в следующих условиях: рабочий вакуум  $2 \cdot 10^{-9}$  мбар, напряжение 10 кВ, мощность - 70 Вт. Погрешность определения энергии связи  $\pm 0,1$  эВ.

Поправка спектров на фон проведена методом Ширли [5], спектры нормированы на величину максимума линии.

Зарегистрированы фотоэлектронные спектры внутренних уровней O1s, Bi7f<sub>7/2</sub>, Tm4d<sub>5/2</sub>, на основании чего проанализирован характер изменения интенсивности в валентных полосах.

### Результаты и обсуждение

Данные рентгенодифракционных измерений представлены в табл. 1. Из их рассмотрения следует, что кубическая фаза F со структурным типом флюорита реализуется в области составов с  $x = 0,3-0,8$ . При меньших содержаниях оксида тулия наблюдается тетрагональная фаза типа  $\beta\text{-Bi}_2\text{O}_3$ , при больших — смесь двух фаз: флюоритового твердого раствора и оксида тулия. Это следует учитывать при обсуждении рентгеноэлектронных исследований, проведенных для образцов составов:  $\text{Bi}_{1,85}\text{Tm}_{0,15}\text{O}_3$ ,  $\text{Bi}_{1,75}\text{Tm}_{0,25}\text{O}_3$ ,  $\text{Bi}_{1,55}\text{Tm}_{0,45}\text{O}_3$ ,  $\text{Bi}_{1,3}\text{Tm}_{0,7}\text{O}_3$ ,  $\text{Bi}_{0,8}\text{Tm}_{1,8}\text{O}_3$ .

Таблица 1  
Фазовый состав исследованных образцов и параметры элементарных ячеек

№ образца	Состав образца	Наличие фаз	Параметры ячеек, Е
1	$\text{Bi}_{1,9}\text{Tm}_{0,1}\text{O}_3$	Тетрагональная, типа $\beta\text{-Bi}_2\text{O}_3$	$a = 7,733, c = 5,634$
2	$\text{Bi}_{1,85}\text{Tm}_{0,15}\text{O}_3$	— “ ” —	$a = 7,731, c = 5,633$
3	$\text{Bi}_{1,8}\text{Tm}_{0,2}\text{O}_3$	$\beta\text{-Bi}_2\text{O}_3$ с F-искажением	$a = 7,742, c = 5,612$
4	$\text{Bi}_{1,75}\text{Tm}_{0,25}\text{O}_3$	Искаженная F-фаза	$a = 5,506$
5	$\text{Bi}_{1,70}\text{Tm}_{0,3}\text{O}_3$	F	$a = 5,499$
6	$\text{Bi}_{1,65}\text{Tm}_{0,35}\text{O}_3$	F	$a = 5,501$
7	$\text{Bi}_{1,60}\text{Tm}_{0,40}\text{O}_3$	F	$a = 5,484$
8	$\text{Bi}_{1,55}\text{Tm}_{0,45}\text{O}_3$	F	$a = 5,477$
9	$\text{Bi}_{1,50}\text{Tm}_{0,50}\text{O}_3$	F	$a = 5,470$
31	$\text{Bi}_{1,40}\text{Tm}_{0,60}\text{O}_3$	F	$a = 5,449$
16	$\text{Bi}_{1,30}\text{Tm}_{0,7}\text{O}_3$	F	$a = 5,428$
27	$\text{Bi}_{1,125}\text{Tm}_{0,75}\text{O}_3$	F	$a = 5,427$
28	$\text{Bi}_{1,20}\text{Tm}_{0,8}\text{O}_3$	F	$a = 5,423$
29	$\text{Bi}_{1,15}\text{Tm}_{0,85}\text{O}_3$	F + $\text{Tm}_2\text{O}_3$	$a = 5,413$
11	$\text{Bi}_{1,10}\text{Tm}_{0,9}\text{O}_3$	F + $\text{Tm}_2\text{O}_3$	$a = 5,411$
19	$\text{Bi TmO}_3$	F + $\text{Tm}_2\text{O}_3$	$a = 5,403$
20	$\text{Bi}_{0,9}\text{Tm}_{1,1}\text{O}_3$	F + $\text{Tm}_2\text{O}_3$	$a = 5,395$
21	$\text{Bi}_{0,8}\text{Tm}_{1,2}\text{O}_3$	F + $\text{Tm}_2\text{O}_3$	$a = 5,395$

$\beta$  -  $\text{Bi}_2\text{O}_3$  — тетрагональная фаза, F — кубическая фаза со структурным типом флюорита.

Экспериментальные значения энергий связи O1s, Bi4f<sub>7/2</sub>, Tm4d<sub>5/2</sub> исходных оксидов и синте-

зированных продуктов приведены в табл. 2.

Состав, структура, энергии связей O1s, Bi4f<sub>7/2</sub>, Tm4d<sub>5/2</sub> и ширина линий Bi4f<sub>7/2</sub>

Состав	Структура	Энергии связи, эВ				
		O1s	Bi 4f <sub>7/2</sub>	ШПВ	Δ	Tm 4d <sub>5/2</sub>
Bi		-	157,1	-	-	-
Bi <sub>2</sub> O <sub>3</sub>	α-Bi <sub>2</sub> O <sub>3</sub>	530,0	158,6	2,25	5,2	-
Bi <sub>1,65</sub> Tm <sub>0,15</sub> O <sub>3</sub>	β-Bi <sub>2</sub> O <sub>3</sub>	530,0 529,5	158,9	2,99	5,5	176,2
Bi <sub>1,75</sub> Tm <sub>0,25</sub> O <sub>3</sub>	β→F	530,0 529,5 531,5 531,8	158,6	1,98	5,1	175,8
Bi <sub>1,55</sub> Tm <sub>0,45</sub> O <sub>3</sub>	F	529,5 530,8 531,8	159,1	2,14	5,5	176,2
Bi <sub>1,30</sub> Tm <sub>0,70</sub> O <sub>3</sub>	F	529,5 530,2 531,6 531,8	158,6	2,23	5,3	175,8
Bi <sub>0,8</sub> Tm <sub>1,2</sub> O <sub>3</sub>	F+Tm <sub>2</sub> O <sub>3</sub>	529,5 530,2 531,6	158,3	1,76	5,4	175,8
Tm <sub>2</sub> O <sub>3</sub>		529,6	-	-	-	176,0

Δ - спин-орбитальное расщепление Bi4f<sub>7/2</sub> - Bi4f<sub>5/2</sub>; α-Bi<sub>2</sub>O<sub>3</sub> - моноклинная модификация оксида висмута; ШПВ -ширина линии на полуысоте.

На рис. 1-3 представлены рентгеновские спектры O1s, Bi7f, а также распределение интенсивности в валентных полосах в зависимости от содержания туния (x). Наблюдаемые изменения в энергиях связи уровней измерены относительно положения линий, соответствующих спектрам исходных оксидов.

На рис. 1 приведены спектры O1s-кислорода исследованных образцов. Исходными данными для идентификации и выявления особенностей служили спектры O1s чистых оксидов висмута и туния. В соответствии с работой [5] и нашими измерениями энергия связи O1s - уровня для этих окислов равна 530,0 и 529,6 эВ, соответственно. В спектре Bi<sub>2</sub>O<sub>3</sub> присутствует вторая линия с энергией 531,6 эВ, которую объясняют присутствием в окисле гидроксильных групп [6, 7].

Для спектров O1s наблюдается сложная форма линий. В зависимости от состава образцов, каждую кривую можно представить как сумму нескольких пиков с разной максимальной интенсивностью, каждому из которых соответствует свое зарядовое состояние аниона кислорода. В спектре присутствуют пики с максимумами при энергиях 529,6, 530,0 и 531,6-532 эВ. Пики при 529,6 и 530,0 эВ соответствуют положениям линий в исходных Tm<sub>2</sub>O<sub>3</sub> и Bi<sub>2</sub>O<sub>3</sub>.

Положение линий в области 531,6-532,0 эВ может быть связано с тремя причинами: фазовыми превращениями (при переходе от а к б-модификации Bi<sub>2</sub>O<sub>3</sub>, переходу от тетрагональной б-модификации оксида висмута к кубической F-фазе), процессам упорядочения - разупорядочения в рамках флюоритовой фазы и возможностью наличия гидроксильных групп в узлах раз-

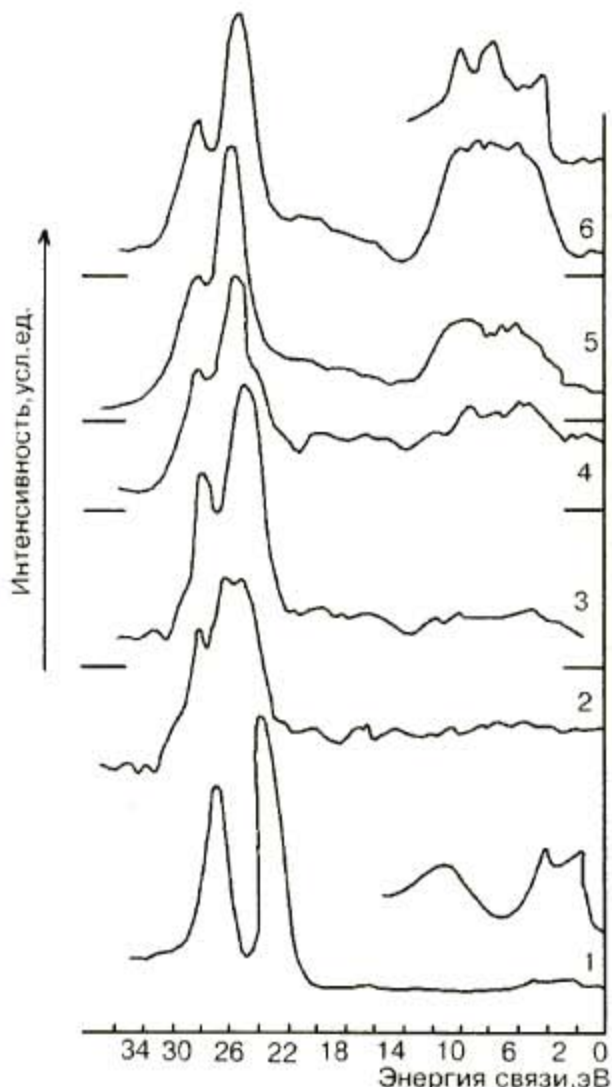


Рис. 1. Спектры O1s-линий кислорода исследованных образцов:

1 - Bi<sub>2</sub>O<sub>3</sub>; 2 - Bi<sub>0,8</sub>Tm<sub>1,2</sub>O<sub>3</sub>; 3 - Bi<sub>1,3</sub>Tm<sub>0,7</sub>O<sub>3</sub>; 4 - Bi<sub>1,55</sub>Tm<sub>0,45</sub>O<sub>3</sub>;  
5 - Bi<sub>1,75</sub>Tm<sub>0,25</sub>O<sub>3</sub>; 6 - Bi<sub>1,65</sub>Tm<sub>0,15</sub>O<sub>3</sub>

мешения кислорода [6]. Для решения этих вопросов необходимы дальнейшие исследования, вероятно, с привлечением других методов.

Можно, однако, заметить, что связи  $\text{Bi} - \text{O}$  и  $\text{Tm} - \text{O}$  практически не меняются, так как положение линии  $\text{O}1\text{s}$  для исходных окислов остаются постоянными.

Из табл.2 следует, что положение пиков  $\text{Bi}4f_{7/2}$  и  $\text{Tm}4d_{5/2}$  зависит от состава образцов. При этом для  $\text{Bi}4f_{7/2}$  сначала наблюдается смещение в длинноволновую область ( $x = 0.15 - 0.45$ ), а затем - в коротковолновую ( $x = 0.7 - 1.2$ ). Ширина линии  $\text{Bi}4f_{7/2}$  (ШПВ) изменяется от 1.76 до 2.99 эВ. Спин-орбитальное расщепление  $\kappa$  между линиями  $\text{Bi}4f_{7/2}$  и  $\text{Bi}4f_{5/2}$  меняется и остается для F-фазы в среднем около 5.4 эВ.

Из рис.2 видно, что с низкоэнергетической стороны линий наблюдается асимметрия формы. Спектры были разложены на составляющие

(для этого была использована форма аналогичного спектра чистого висмута). в результате были обнаружены сателлиты, отстоящие от основной линии на 1.7 эВ. С увеличением  $x$  (содержанием туния) интенсивность линий висмута падает, но соотношение интенсивностей  $I_{5/2}/I_{7/2}$  сохраняется.

Для спектров  $\text{Tm}4d_{5/2}$  характерно, что в образцах, содержащих наибольшее количество туния ( $x = 0.7$  и  $1.2$ ) энергии связи постоянны (175.8 эВ), но меньше 176.0 эВ, наблюдалась для исходного оксида туния. Такая же картина наблюдается и в спектрах  $\text{Tm}5p$  (28.5 эВ). В образцах с меньшим содержанием туния имеются особенности: так, для линии  $\text{Tm}4d_{5/2}$  наблюдается увеличение энергии до 176.2 эВ, а для линии  $\text{Tm}5p$  - уменьшение до 28.0 эВ. Вероятно, это связано с разной реакцией уровней на процессы возбуждения атомов, которые сопровождаются многоэлектронными взаимодействиями.

В спектрах  $\text{Tm}4d$  с высокоенергетической стороны также заметны сателлиты, которые скорее всего связаны с монопольным возбуждением электронов валентной полосы. Если для малых содержаний туния величина интенсивности ближайшего к основной линии сателлита превышает интенсивность линии, то с ростом его содержания интенсивности основной линии и сателлита сравниваются. Асимметрия основной линии увеличивается. Величина смещения максимума сателлита меняется в зависимости от состава и колеблется в пределах 0.8 - 1.2 эВ.

На рис.3 представлены спектры уровней  $\text{Bi}5d_{5/2,3/2}$ ,  $\text{Tm}5p_{3/2}$  и  $\text{O}1s$ , которые расположены вблизи валентной полосы в диапазоне 15 - 30 эВ и спектры валентных полос исследованных составов. Для сравнения приведены спектры исходных элементов. Разница междууплетного расстояния  $\text{Bi}5d_{5/2} - \text{Bi}5d_{3/2}$  составляет  $3.0 \pm 0.1$  эВ, что соответствует величине, наблюданной для чистого оксида висмута. Лишь у состава  $\text{Bi}_{1.85}\text{Tm}_{0.15}\text{O}_3$  произошел рост до 3.3 эВ.

Отметим, что энергии связи  $\text{Bi}5d_{3/2}$  и  $\text{Tm}5p_{3/2}$  в оксидах одинаковы и равны 25.5 эВ для составов с  $x > 0.25$ . Уменьшение энергии до 25.2 - 24.9 эВ зафиксировано в образцах с  $x = 0.25$  и 0.15. С уменьшением содержания туния в образцах ширина линии  $\text{Bi}5d_{3/2}$  ( $\text{Tm}5p$ ) незначительно увеличивается.

Уширение в области 23-24 эВ идентифицировано как наложение на спектр линии  $\text{O}2s$ . По результатам разложения линии на составляющие для составов с  $x = 0.25$  положение этой линии соответствует линии кислорода, наблюданной в  $\text{Bi}_2\text{O}_3$ .

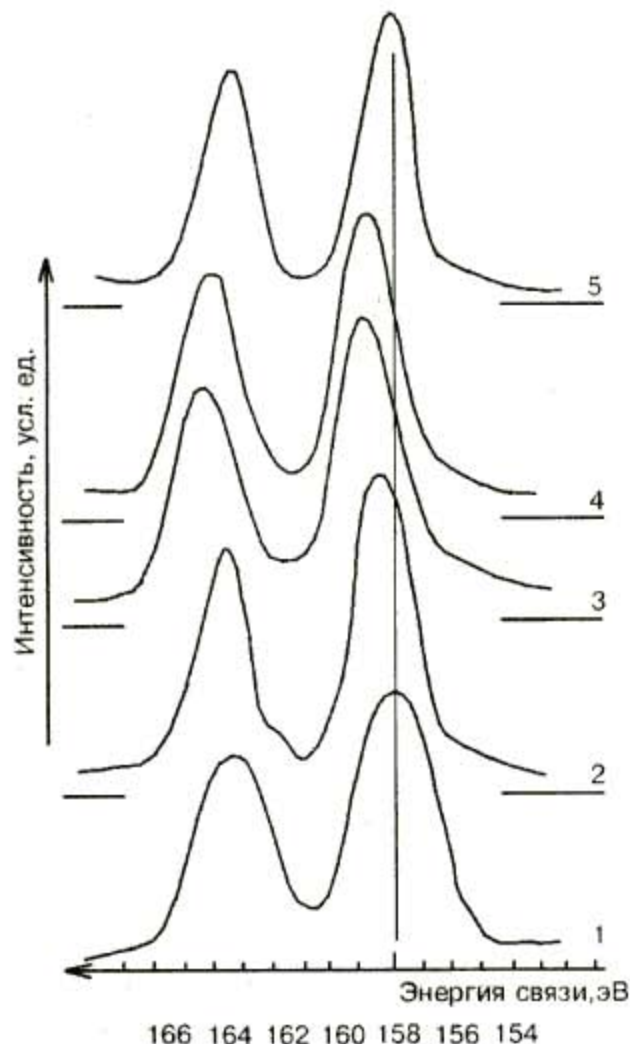


Рис. 2. Спектры  $\text{Bi}4f_{7/2,5/2}$ -линий висмута исследованных образцов:  
1 -  $\text{Bi}_{0.8}\text{Tm}_{1.2}\text{O}_3$ ; 2 -  $\text{Bi}_{1.3}\text{Tm}_{0.7}\text{O}_3$ ; 3 -  $\text{Bi}_{1.85}\text{Tm}_{0.15}\text{O}_3$ ; 4 -  $\text{Bi}_{1.75}\text{Tm}_{0.25}\text{O}_3$ ;  
5 -  $\text{Bi}_{1.65}\text{Tm}_{0.15}\text{O}_3$

Для составов с большим содержанием туния положение O<sub>2s</sub>-линии смещено до 24.0-24.5 эВ.

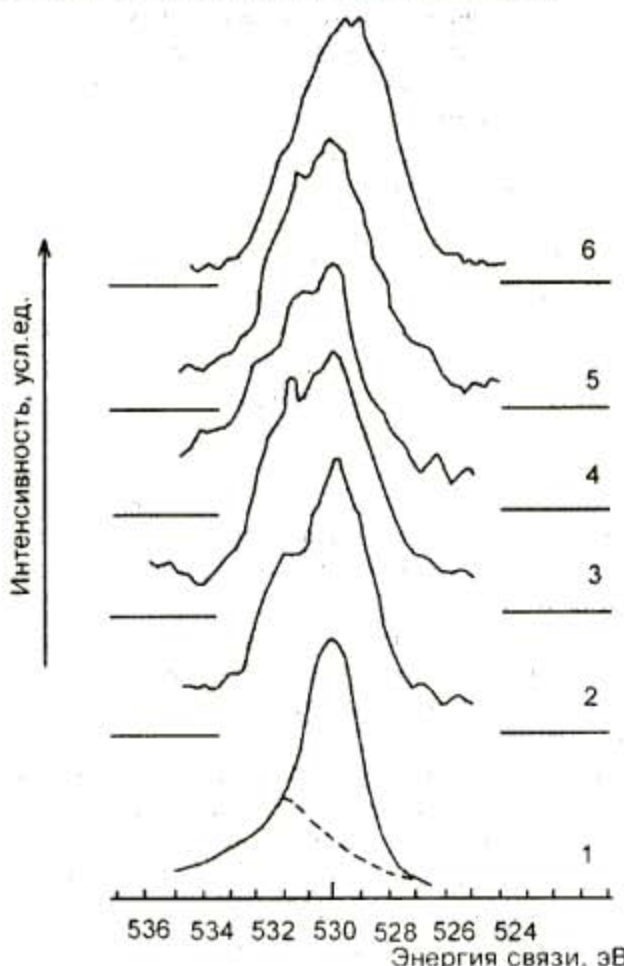


Рис. 3. Спектры Bi5d, Tm5p и валентных полос исследованных образцов:

1 - Bi<sub>2</sub>O<sub>3</sub>; 2 - Bi<sub>0.85</sub>Tm<sub>0.15</sub>O<sub>3</sub>; 3 - Bi<sub>1.75</sub>Tm<sub>0.25</sub>O<sub>3</sub>; 4 - Bi<sub>0.55</sub>Tm<sub>0.45</sub>O<sub>3</sub>;  
5 - Bi<sub>1.3</sub>Tm<sub>0.7</sub>O<sub>3</sub>; 6 - Bi<sub>0.8</sub>Tm<sub>1.2</sub>O<sub>3</sub>; 7 - Tm

Уширение с высокоэнергетической стороны связано с наложением линии Tm5p<sub>3/2</sub> и представляет сателлит, отстоящий от основного максимума на 1 эВ. В спектре образца с  $x = 0.15$  наблюдается смещение линий Bi5d и Tm5p относительно друг друга.

Интенсивность линии Bi5d<sub>3/2</sub> зависит от содержания висмута в образцах: при этом изменяются абсолютная величина и отношение интенсивностей Bi5d<sub>3/2</sub>, Tm5p<sub>3/2</sub> линий.. что связано с перераспределением вкладов от атомов висмута и туния.

Сложная структура распределения интенсивности валентных полос просматривается в диапазоне 0 - 14 эВ от уровня Ферми. Условно можно разделить этот диапазон на три участка: 0-4, 4-8 и 8-12 эВ. Из рис. 3 видно, что на участке 0-4 эВ расположено распределение интенсивности, идентифицированное как Вибр-состояние, а на

участке 8-12 эВ - как 6s-состояние [7]. Характерным признаком для всех спектров является рост интенсивности в области 4-12 эВ с увеличением в образцах содержания туния.

Основные особенности спектров редкоземельных элементов обусловлены возбуждением 4f-электронов. Для объяснения наблюдавшихся особенностей в области 4-12 эВ привлечены теоретические и экспериментальные данные ряда работ [8-12].

В валентной полосе туния распределение интенсивности в области 4-7 эВ идентифицировано как 5d-состояние, а в области 7-12 эВ - как состояние 4f-уровней туния.

Учитывая, что зарядовое состояние катионов туния и висмута, определенное по энергиям связи внутренних уровней, в исследуемых оксидах близко к +3, можно связать появление максимумов около 8.5 и 11 эВ с 4f-состояниями туния. С уменьшением содержания туния эта часть спектра сдвигается в сторону меньших энергий связи и становится более слаженной. Происходит перераспределение интенсивности внутри этого диапазона энергий, что приводит к снижению интенсивности спектра вблизи -8 эВ. При  $x = 0.45$  максимум сдвигнут в сторону низких энергий связи на 1 эВ. Так как одновременно с этим в спектре Bi5d<sub>3/2</sub>(Tm5p<sub>3/2</sub>) наблюдается ярко выраженная особенность, сдвиг относительно основной линии также на 1 эВ, мы полагаем, что произошел сдвиг 4f-состояний туния в сторону уровня Ферми. Так как в этой области расположены и 6s-состояния висмута, то можно предположить, что одновременно происходит и перераспределение интенсивности этих состояний. Энергия связи Bi4f<sub>7/2</sub> и Tm4d<sub>5/2</sub> (табл. 2) для состава с  $x = 0.45$  имеет наибольшую величину. Это должно привести к наибольшему смещению интенсивности 6s-состояний висмута и 4f-состояний туния в сторону больших энергий. Фактически происходит смещение максимума "наплыva" в сторону низких энергий. Если "сглаживание" максимума на участке 8-12 эВ можно объяснить наложением линий Bi6s и Tm4f, то сдвиг в сторону низких энергий возможен лишь за счет сдвига Tm4f-состояний, либо частичной потерей локальности состояний электронов этого уровня. Сложность в интерпретации вносит и изменение распределения O<sub>2p</sub>-электронов кислорода, которое частично расположено в этом же поддиапазоне энергий.

На участке 4-7 эВ с ростом содержания туния уменьшается относительная интенсивность вблизи энергии 4.4 эВ, которой соответствуют 5d-состояниям туния, и наблюдается смещение по-

локации максимума на 0.6 эВ в сторону больших энергий. Уменьшение интенсивности, вероятно, можно связать с участием 5d электронов в связях с другими атомами и частичной делокализацией этих электронов около атомов туния. Постоянство положения максимума при 6 эВ и сравнимая величина его интенсивности по отношению к интенсивности распределения на участке 8-12 эВ вероятнее всего связаны с частью O<sub>2p</sub>-состояний кислорода, так как число атомов в исследуемых оксидах остается постоянным. Абсолютный рост интенсивности максимума при 6 эВ одновременно с интенсивностью, которую мы связываем с 4f-электронами туния, дает повод предположить, что на этом участке интенсивность связана с атомами кислорода, находящимися в связи с атомами туния.

В области 0-4 эВ четко выделить особенности распределения интенсивности на эксперименте затруднительно. Можно отметить, что в спектре висмута наблюдаются два пика при 3.3 и 1.2 эВ, которые соответствуют его бр-состояниям [10]. У редкоземельных металлов валентная полоса образована из гибридизированных 6s-, 5d-состояний. В окрестностях уровня Ферми парциальная плотность d-состояний выше, чем у s. Поэтому можно предположить, что для образцов с x, большим 0.25, характер распределения интенсивности вблизи уровня Ферми связан с бр-состояниями висмута.

Замена ионов висмута на туний не меняет валентность катионов в решетке, но увеличивает степень беспорядка в подрешетке кислорода. Существенная разница ионных радиусов туния и висмута (0.80 и 1.08 Å, соответственно) способствует сжатию объема решетки, уменьшению расстояний катион-катион и постоянной решетки.

В зависимости от количества вводимого модификатора высокотемпературная δ-фаза Bi<sub>2</sub>O<sub>3</sub> претерпевает следующие превращения:

- при x = 0.15 образуется β-фаза тетрагонального типа (нарушенная дефектная структура типа флюорита с упорядоченными вакансиями в кислородной подрешетке [3.4]):

- при x = 0.25-0.75 происходит образование кубической фазы со структурным типом флюорита с меньшим упорядочением вакансий кислорода. Заметим, что разница ионных радиусов туния и висмута превышает 14 % (условие замещения), тем не менее замещение катионов наблюдается, что подтверждают данные рентгено-фазового анализа;

- дальнейшее увеличение количества модификатора приводит к образованию двух фаз:

флюоритовой и чистого Tm<sub>2</sub>O<sub>3</sub> (кубическая, типа Mn<sub>2</sub>O<sub>3</sub>, пространственная группа D<sub>53</sub>). Параметр решетки сложного оксида значительно меньше, чем параметр оксида туния (10.52 Å), поэтому можно предположить, что структура основного объема сохраняется.

Анализируя полученные результаты, теоретические и экспериментальные данные ряда авторов [8-12] можно сделать ряд предположений по интерпретации представленного материала.

Изменения в энергии связи электронов Bi4f<sub>7/2</sub> указывают на изменение ионности связи висмута с кислородом. Для слаборазбавленных образцов с x < 0.25 величина энергии меньше, чем в оксиде висмута, что в рамках существующих моделей рассматривается как уменьшение локализации электронов вблизи катионов висмута. Наибольшие изменения в спектрах наблюдаются при x = 0.7. Уменьшение, а затем рост полуширины линий в образцах с x = 0.25-0.70 (табл. 2), вероятнее всего, связано с разупорядочением структуры, и следовательно, большей делокализацией электронной плотности вблизи катионов висмута.

Интерес представляют изменения в образце с x = 0.25, в котором происходит фазовый переход тетрагональной β-фазы в кубическую флюоритовую F. Энергия связи и междуплетное расстояние Bi4f в F-фазе одинаковы с данными для оксида висмута, а значение ШПВ - меньше. Изменение полуширины в сторону уменьшения наблюдается и с появлением второй фазы (x = 1.20). При этом характеристики исследуемой линии достигают значений, наблюдавшихся для оксида висмута. Можно предположить, что при переходе во флюоритовую фазу усиливается сила связи по линии Bi-O, которая с увеличением вводимой добавки сохраняется до появления второй фазы - оксида туния. В тоже время электронная плотность вблизи катиона висмута несколько уменьшается за счет образования связи Tm-O.

Изменения в энергии связи туния в сторону меньших значений по сравнению с оксидом туния указывает на ослабление связи по линии Tm-O и увеличение электронной плотности вблизи катиона туния.

Из данных распределения электронов O1s - линии кислорода следует, что состояние анионов кислорода решетки (энергии 529.6 и 530.0 эВ) постоянно. Сложная картина спектра в области исследованных энергий указывает на неоднозначность энергетического состояния кислорода, природа которого еще должна быть исследована. Возможно, что полностью объяснить распределение

ние интенсивностей за счет гидроксильных ионов, их составом, количеством и возможным взаимодействием в приповерхностных слоях образцов, как это принято сейчас, врядли возможно.

В спектрах валентных полос наблюдается перераспределение интенсивности, связанное с изменением состояний электронов 4f, 5d – туния, 6s, 6p – висмута и 2p – кислорода.

Для созданной флюоритовой фазы в сложных оксидах  $\text{Bi}_{2-x}\text{Tm}_x\text{O}_3$  электропроводность составляет  $7 \cdot 10^{-3}$  ( $500^\circ\text{C}$ ),  $8 \cdot 10^{-2}$  ( $700^\circ\text{C}$ ) и  $0.4$  ( $900^\circ\text{C}$ )  $\text{S}/\text{cm}$ , что ниже проводимости чистого  $\text{Bi}_2\text{O}_3$  –  $2.3 \text{ S}/\text{cm}$  ( $900^\circ\text{C}$ ), но выше проводимости  $\text{ZrO}_2$  –  $0.01 \text{ S}/\text{cm}$  ( $900^\circ\text{C}$ ) [3, 9-11]. Так как при замещении катионов висмута и туния электронейтральность ячейки не нарушается, то число зарядовых носите-

лей (вакансии кислорода) не увеличивается, что подтверждается постоянством проводимости при изменении парциального давления кислорода [12, 13]. С вводом катиона туния изменяется длина связи катион–кислород (частичная замена  $\text{Bi}-\text{O}$  на  $\text{Tm}-\text{O}$ ). От длины связи  $\text{Tm}-\text{O}$  зависит энергия активации перехода иона кислорода через тетрагональную плоскость (переход от системы  $\text{Bi}^{3+}-\text{Bi}^{3+}$  к системе  $\text{Bi}^{3+}-\text{Tm}^{3+}$ ). Наиболее активные ионы кислорода находятся в  $\text{Bi}-\text{Tm}$  тетраэдрах элементарной ячейки, поэтому увеличение проводимости с ростом вводимого модификатора вероятнее всего связано с увеличением числа таких доменов и подвижности анионов в них.

1. Стрекаловский В.Н., Полежаев Ю.М., Пальгуев С.Ф. Оксиды с примесной разупорядоченностью (состав,

#### ЛИТЕРАТУРА

- структура, фазовые превращения). М.: Наука, 1987. 157 с.
2. Wold A., Dwight K. Solid State Chemistry (Synthesis, structure, and Properties of Selected Oxides and Sulfides). New York : Chapman & Hall, 1993. 245 p.
3. Takahashi T., Iwahari H., Nagai Y. // J. Appl. Electrochem. 1972. V.2, № 2. P.97-104
4. Takahashi T., Iwahari H., Arao T. // J. Appl. Electrochem. 1975. V.5, № 3. P.187-195
5. Анализ поверхности методами Оже- и рентгеновской фотозелектронной спектроскопии. Под ред. Д.Бригса и М.П.Сыча. М.: Мир, 1987. 598 с.
6. Guillermo R., Boivin J.C. at all // Rev. Chem. Miner. 1978, № 15. P.153.
7. Нефедов В.И., Гати Д., Джуринский Б.Ф., Сергин Н.П., Салынь Я.В. // Журнал неорган. химии. 1975, Т. XX, №.9. С. 2307-2314.
8. Brienn J.S., Mc Clure // Anal. Chem. Lett., 1972, №5. P.737.
9. Клюшников О. И., Стрекаловский В. Н., Вакарин С.В. // Вестник УГТУ-2000. № 1, С.131-132
10. Scrocco M. // J. Electr. Spectr. Rel. Phen. // 1990. V.50, № 3. P.171-184.
11. Coeyn P., Baer Y., Jorgensen C. // Chem.Phys.Lett. № 22, P.443.
12. Werheim G. H., Rosen A. // Phys.Rev.Lett. 1971. V.27, № 8. P.505-507.
13. Baer Y., Busch G. // J.Electr. Spectr. Rel. Phen. // 1974. V.5. P.611.

\* \* \* \*